

正州大学 谷本勉之助

夏目正太郎

○ 松尾光雄

1. まえがき

本論文は新化変形法により剛性のあるワーレントラスと立體的に解析したものである。従来の平面分けによる解析では無視されてきたねじり変動をも明確に示し、構造物のあらがいがままでの姿を解析することができるため、より正確な結果を期待できる。又、最終的に三軸マトリックスを形成するため、演算時間と節約でき、大型逆マトリックスが不要（図1においては24×24の逆マトリックスが必要なだけ）となる。ここでは図1に示された構造物について解析したわけだが、条件の選択により、任意のワーレンタイプに適用できるものである。

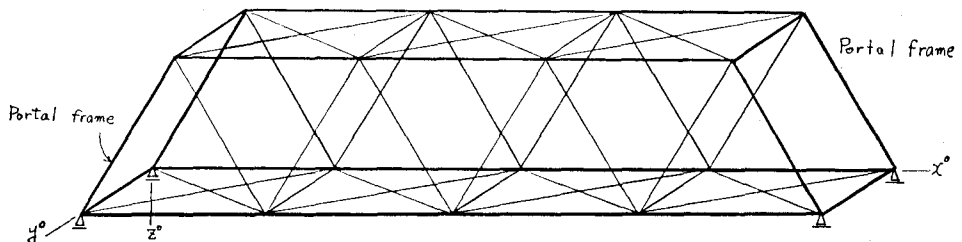


図 1.

2. 基本式

図1において太線は曲げ軸力共に受け、細線は軸力のみを受け部材とする。

$$\boldsymbol{U} = \{ u \ v \ w \ \phi \ \theta_y \ \theta_z \},$$

$$\boldsymbol{F} = \{ F_x \ F_y \ F_z \ 0 \ 0 \ 0 \},$$

$$\boldsymbol{M} = \{ M_x \ S_y \ S_z \ T \ M_y \ M_z \}$$

とすると、力と変位の関係は

$$\boldsymbol{F} = [K] \boldsymbol{U},$$

$$[\nabla] = \begin{bmatrix} -\lambda & \mu \\ \lambda' & -\mu' \end{bmatrix} [\boldsymbol{U}],$$

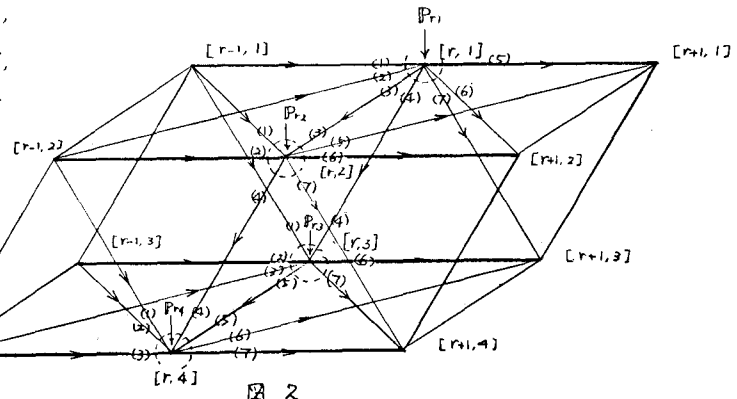


図 2.

ここにみける $\boldsymbol{U}, \boldsymbol{U}'$ は部材両端にみける変位量である。

図2より、 r 番目における単位構の節点つりあいを考え、整理すると

$$\begin{bmatrix} \lambda'_1 & K_2 & 0 & 0 \end{bmatrix} \begin{bmatrix} \boldsymbol{U} \end{bmatrix}_1 + \begin{bmatrix} L \sigma & \mu_3 & K_4 & 0 \end{bmatrix} \begin{bmatrix} \boldsymbol{U} \end{bmatrix}_1 + \begin{bmatrix} L \mu_5 & K_6 & K_7 & 0 \end{bmatrix} \begin{bmatrix} \boldsymbol{U} \end{bmatrix}_1 + \begin{bmatrix} P_1 \end{bmatrix}_1 = 0 \text{ となる。}$$

$$\begin{bmatrix} L K_1 & \lambda'_2 & 0 & 0 \end{bmatrix} \begin{bmatrix} \boldsymbol{U} \end{bmatrix}_2 + \begin{bmatrix} L \sigma & \sigma & 0 & K_4 \end{bmatrix} \begin{bmatrix} \boldsymbol{U} \end{bmatrix}_2 + \begin{bmatrix} L K_5 & \mu_6 & 0 & K_7 \end{bmatrix} \begin{bmatrix} \boldsymbol{U} \end{bmatrix}_2 + \begin{bmatrix} P_2 \end{bmatrix}_2 = 0$$

$$\begin{bmatrix} L K_1 & 0 & \lambda'_3 & K_3 \end{bmatrix} \begin{bmatrix} \boldsymbol{U} \end{bmatrix}_3 + \begin{bmatrix} L K_4 & 0 & \sigma & K_5 \end{bmatrix} \begin{bmatrix} \boldsymbol{U} \end{bmatrix}_3 + \begin{bmatrix} L \sigma & 0 & \mu_6 & K_7 \end{bmatrix} \begin{bmatrix} \boldsymbol{U} \end{bmatrix}_3 + \begin{bmatrix} P_3 \end{bmatrix}_3 = 0$$

$$\begin{bmatrix} L \sigma & K_1 & K_2 & \lambda'_3 \end{bmatrix} \begin{bmatrix} \boldsymbol{U} \end{bmatrix}_{r+1} + \begin{bmatrix} L \sigma & K_4 & K_5 & 0 \end{bmatrix} \begin{bmatrix} \boldsymbol{U} \end{bmatrix}_{r+1} + \begin{bmatrix} L \sigma & 0 & K_6 & \mu_7 \end{bmatrix} \begin{bmatrix} \boldsymbol{U} \end{bmatrix}_{r+1} + \begin{bmatrix} P_4 \end{bmatrix}_{r+1} = 0$$

前式において

$$\Omega_{r1} = -(\mu_1' + K_2 + K_3 + K_4 + \lambda_5 + K_6 + K_7)_{r1},$$

$$\Omega_{r3} = -(\mu_1' + \mu_2' + K_3 + K_4 + K_5 + \lambda_6 + K_7)_{r3},$$

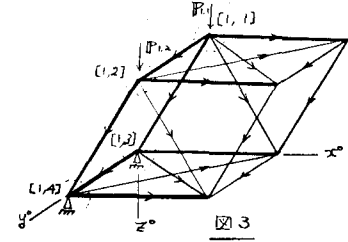
$$\Omega_{r2} = -(K_1 + \mu_2' + K_3 + K_4 + K_5 + \lambda_6 + K_7)_{r2},$$

$$\Omega_{r4} = -(K_1 + K_2 + \mu_3' + K_4 + K_5 + K_6 + \lambda_7)_{r4},$$

3. 端条件

(a) 左端において $\{u, v, w\}_{1,3} = 0, \{u, v, w\}_{1,4} = 0$ とすると、基本方程式は次の如く書かれる。(図3)

$$\begin{bmatrix} L \Omega & \mu_3 & \mu_4 & 0 & 1 \\ L \lambda_3 & \Omega & 0 & \mu_4 & 1 \\ L \lambda_4 & 0 & \mu_3 & \mu_4 & 1 \\ L 0 & \mu_3 & \mu_4 & 0 & 1 \end{bmatrix} \begin{bmatrix} U_1 \\ U_2 \\ U_3 \\ U_4 \end{bmatrix} + \begin{bmatrix} L \mu_3 & K_6 & K_7 & 0 & 1 \\ L K_5 & \mu_4 & 0 & K_7 & 1 \\ L 0 & 0 & \mu_3 & \mu_4 & 1 \\ L 0 & \mu_3 & \mu_4 & 0 & 1 \end{bmatrix} \begin{bmatrix} U_1 \\ U_2 \\ U_3 \\ U_4 \end{bmatrix} = 0$$



上式において $S = \text{diag} [0, 0, 0, 1, 1, 1]$,

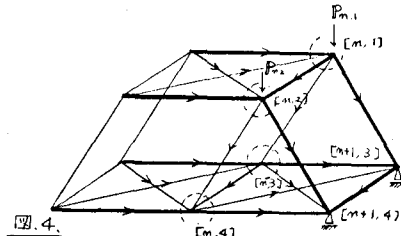
$S' = \text{diag} [1, 1, 1, 0, 0, 0]$.

(b) 右端左、右端右においても S, S' を用いて基本方程式を書きかえよ。これが図3。(図4)

4. 最終方程式

一般の構造物でこれらの単位構の組み合わせを考え、以上の基本方程式を整理すると

$$\begin{bmatrix} B_1 & C_1 \\ A_2 & B_2 & C_2 \\ \vdots & \vdots & \vdots \\ A_{n+1} & B_{n+1} & C_{n+1} \end{bmatrix} \begin{bmatrix} U_1 \\ U_2 \\ \vdots \\ U_{n+1} \end{bmatrix} + \begin{bmatrix} \{P\}_1 \\ \{P\}_2 \\ \vdots \\ \{P\}_{n+1} \end{bmatrix} = 0 \quad \text{となる。}$$



5. 計算結果

図5で示された構造物の変位量は次の如くなる。

	u	v	w	ϕ	θ_x	θ_z
r=1	1. 0.1708470E-02	-0.2047494E-03	0.5466892E-02	-0.1917632E-04	-0.3590199E-04	0.6940165E-03
2	0.1708510E-02	0.2048123E-03	0.5460974E-02	0.1920409E-04	0.3588777E-04	0.6940302E-03
3	0.0	0.0	0.0	-0.2318609E-04	-0.3694461E-05	0.1196040E-02
4	0.0	0.0	0.0	0.2318903E-04	0.3694698E-05	0.1196068E-02
r=2	1. -0.7072231E-08	-0.3779649E-03	0.8450206E-02	-0.1917845E-04	-0.2028173E-09	0.1396964E-08
2	-0.1658918E-08	0.3779880E-03	0.8450333E-02	0.1920050E-04	-0.6702976E-07	-0.4656613E-09
3	-0.1743967E-03	0.1892184E-04	0.7119957E-02	-0.2318618E-04	0.5015986E-05	0.1025310E-02
4	-0.1744010E-03	-0.1891894E-04	0.7120065E-02	0.2318874E-04	-0.5015527E-05	0.10-5330E-02
r=3	1. -0.1708492E-02	-0.2047606E-03	0.5460918E-02	-0.1918033E-04	0.2689941E-04	-0.6940232E-03
2	-0.1708515E-02	0.2048033E-03	0.5460978E-02	0.1919872E-04	-0.3589111E-04	-0.6940311E-03
3	0.1743913E-03	0.1892273E-04	0.7119972E-02	-0.2318635E-04	-0.5015802E-05	-0.1025314E-02
4	0.1743952E-03	-0.1891973E-04	0.7120077E-02	0.2318864E-04	0.5015366E-05	-0.1025320E-02
r=4	3. 0.0	0.0	0.0	-0.2318651E-04	0.3694208E-05	-0.1196054E-02
4	0.0	0.0	0.0	0.2318851E-04	-0.3694483E-05	-0.1196070E-02

6. あとがき

上記結果は下桁演算でなされたものであり、期待した精度を得にことになる。より複雑な系に対しても同様に高精度のものを期待できる。

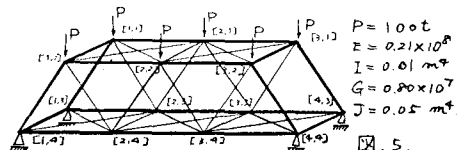


図.5.